

ВЛИЯНИЕ ОБЛУЧЕНИЯ БЫСТРЫМИ НЕЙТРОНАМИ НА ЛЮМИНЕСЦЕНЦИЮ АРСЕНИДА ГАЛЛИЯ

Винник Е. В., Глинчук К. Д., Гурошев В. И., Прохорович А. В.

Изучено влияние облучения быстрыми нейтронами и последующих изохронных отжигов на фотолюминесценцию легированных атомами Zn, Te кристаллов *p*-GaAs. Показано, что указанные воздействия приводят (помимо изменения интенсивности краевой полосы излучения) к появлению примесных полос излучения с энергиями максимума $h\nu_m$ (77 К) вблизи 1.26, 1.38, 1.18, 1.30 и 1.25 эВ, обусловленных излучательными переходами электронов в созданных радиационным (радиационно-термическим) воздействием парах $As, Zn_{Ga}, V_{As}Zn_{Ga}, V_{Ga}Te_{As}, Si_{As}D$ и $Si_{As}(V_{Ga}V_{As})$ соответственно.

Известно, что облучение арсенида галлия быстрыми нейтронами приводит к существенному изменению его проводимости [1-6], оптического пропускания [2, 6], скорости аннигиляции позитронов [6, 7], фотопроводимости [8], вероятностей рекомбинации избыточных электронов, дырок [3, 4], а также характеристик приборов (в частности, светодиодов) на его основе [3, 9, 10] (указанное обусловлено достаточно высокой скоростью введения радиационных дефектов нейтронным облучением [1-4, 6, 7]). Некоторые данные о влиянии облучения быстрыми нейтронами на люминесценцию арсенида галлия будут приведены далее.

1. Методика

Исходными для опытов являлись «некомпенсированные» [содержащие лишь преднамеренно введенные атомы цинка, их концентрация $N_{Zn} \approx 1 \cdot 10^{18} \text{ см}^{-3}$, концентрация остаточных доноров (в частности, атомов кремния) меньше $1 \times 10^{16} \text{ см}^{-3}$] и специально компенсированные (содержащие атомы цинка и теллура, их концентрации $N_{Zn} \approx 3 \cdot 10^{17} \text{ см}^{-3}$ и $N_{Te} \approx 1.5 \cdot 10^{17} \text{ см}^{-3}$) кристаллы *p*-GaAs [при 77 К концентрации равновесных дырок в них $p_0 \approx 4 \cdot 10^{17}$ и $2.5 \times 10^{16} \text{ см}^{-3}$ соответственно, а время жизни избыточных электронов $\tau_e(0) \approx 10^{-10} \text{ с}$; концентрация *s*-центров безызлучательной рекомбинации электронов, дырок в них $N_s(0)$].

Облучение кристаллов *p*-GaAs быстрыми нейтронами [средняя энергия нейтронов $E \approx 2 \text{ МэВ}$, интегральная доза облучения $\Phi = 10^{13} - 10^{15} \text{ н/см}^2$, концентрация созданных облучением точечных дефектов (изолированных и в кластерах) $n_d(0)$, $n_d(0) \approx 50 \Phi$] проводилось при $T \leqslant 60 \text{ }^\circ\text{C}$. Изохронный (длительностью 30 мин) отжиг облученных (и контрольных необлученных) кристаллов *p*-GaAs проводился при $T \leqslant 650 \text{ }^\circ\text{C}$ в условиях, исключающих проникновение в их объем различных загрязнений, в том числе атомов меди (концентрации *s*-центров и точечных радиационных дефектов в отожженных кристаллах N_s и n_d соответственно). Облучение и последующий отжиг мало изменяли величину p_0 [очевидно, выполнялось соотношение $n_d(0) \ll N_{Zn}, N_{Te}$] и значительно изменили время жизни избыточных электронов τ_e [очевидно, $\tau_e \leqslant \tau_s(0)$].

Люминесценция *p*-GaAs (ее интенсивность I) возбуждалась Не—Не-лазером, интенсивность возбуждения $L = 10^{18} \text{ кВ/см}^2 \cdot \text{с}$; возбуждение мало изменяло величину p_0 . Измерение спектров люминесценции кристаллов *p*-GaAs проводилось при 77 К в области линейной зависимости I от L (т. е. в области линей-

ности рекомбинации избыточных электронов, дырок). В спектрах люминесценции исходных кристаллов p -GaAs наблюдалась лишь краевая полоса излучения с энергией максимума $h\nu_m$, вблизи 1.50 эВ, ее интенсивность $I_{1.50}(0)$ (рис. 1).¹ Прогрев необлученных кристаллов мало изменял интенсивность краевой полосы излучения $I_{1.50}$ и время жизни избыточных электронов τ_n [$I_{1.50} \approx I_{1.50}(0)$, $\tau_n \approx \tau_n(0)$, а $N_s \approx N_s(0)$ в необлученных отожженных кристаллах] и не приводил к появлению новых полос излучения в их спектре люминесценции (рис. 1).

Как в исходных, так и в подвергнутых радиационно-термическому воздействию кристаллах p -GaAs интенсивность

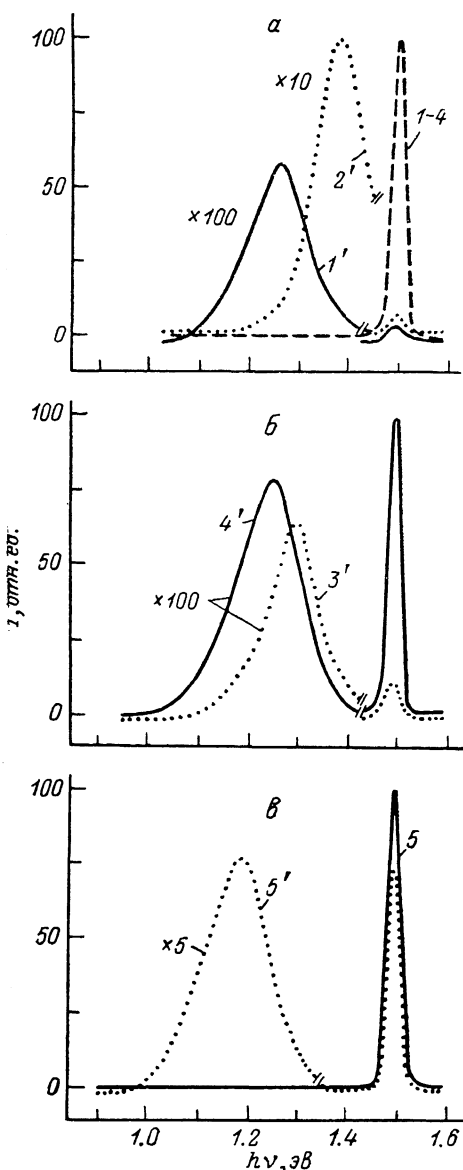


Рис. 1. Спектры люминесценции необлученных (1—5) и облученных потоком быстрых нейтронов $\Phi = 10^{15}$ н/ см^2 (1'—5') кристаллов p -GaAs<Zn> (а, б) и p -GaAs<Zn, Te> (в) при 77 К, непрогретых (1, 1') и прогретых (30 мин) при 200 (2, 2'), 375 (3, 3'), 600 (4, 4') и 500°С (5, 5').

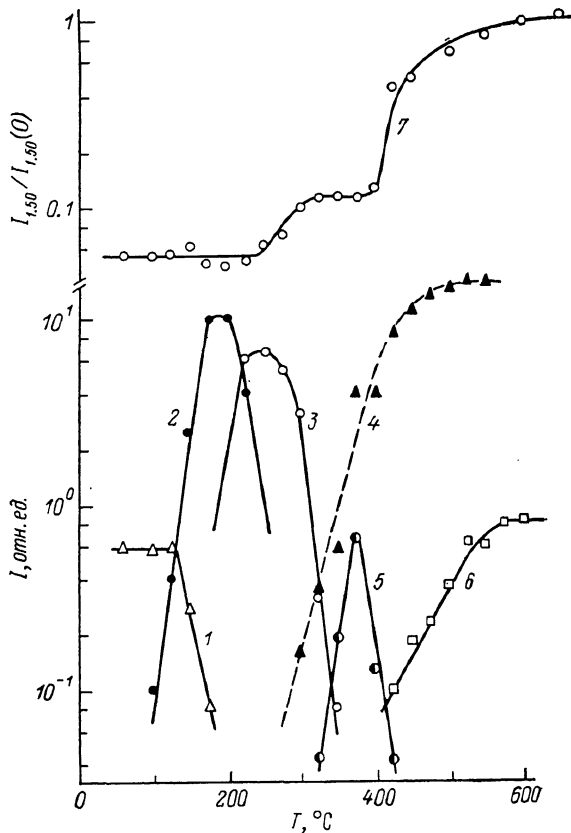


Рис. 2. Изменение интенсивностей излучения $I_{1.26}$ (1), $I_{1.38}$ (2, 3), $I_{1.18}$ (4), $I_{1.30}$ (5), $I_{1.25}$ (6) и $I_{1.50}$ (7) при изохронном отжиге (30 мин), облученных потоком быстрых нейтронов $\Phi = 10^{15}$ н/ см^2 кристаллов p -GaAs<Zn> (1—3, 5—7) и p -GaAs<Zn, Te> (4, 7).

$I_{1.26}, I_{1.38}, I_{1.18}, I_{1.30}, I_{1.25} = 0$, а $I_{1.50} \approx I_{1.50}(0)$ в необлученных прогретых кристаллах. Температура измерений 77 К.

люминесценции была относительно невелика ($I \ll L$), т. е. доминировали процессы безызлучательной рекомбинации избыточных носителей тока через s -центры и радиационные дефекты (они определяли величину τ_n).

¹ Краевая полоса люминесценции в GaAs обусловлена излучательной рекомбинацией свободных и связанных на мелких донорах электронов со свободными и связанными на мелких акцепторах дырками [11].

2. Результаты

На рис. 1 и 2 приведены типичные данные, показывающие влияние облучения быстрыми нейтронами и последующих изохронных отжигов на фотолюминесценцию p -GaAs. В них обращают на себя внимание следующие нетривиальные закономерности.

а) Облучение содержащих атомы цинка кристаллов p -GaAs быстрыми нейтронами приводит (помимо тривиального уменьшения интенсивности краевого излучения $I_{1.50}$) к появлению в их спектрах люминесценции относительно широкой (с полушириной $W=0.14$ эВ) полосы излучения с энергией максимума $h\nu_m=1.26$ эВ; ее интенсивность $I_{1.26}$ слабо изменяется при последующем низкотемпературном ($T \leq 125$ °C) отжиге облученных кристаллов (максимальное значение $I_{1.26}$ достигается в облученных неотожженных кристаллах).

б) Нейтронное облучение и последующий отжиг при умеренных ($100 \leq T \leq 250$ °C) и высоких ($T > 250$ °C) температурах, содержащих атомы цинка кристаллов p -GaAs, приводят к последовательному появлению полос излучения с энергией максимума $h\nu_m$, сначала при 1.38 эВ (ее интенсивность $I_{1.38}$, а полуширина $W=0.12$ эВ, максимальное значение $I_{1.38}$ достигается при $T \approx 200$ °C), затем при 1.30 эВ (ее интенсивность $I_{1.30}$, а полуширина $W=0.11$ эВ, максимальное значение $I_{1.30}$ достигается при $T \approx 375$ °C) и, наконец, при 1.25 эВ (ее интенсивность $I_{1.25}$, а полуширина $W=0.15$ эВ, максимальное значение $I_{1.25}$ достигается при $T \approx 550$ °C).

в) Нейтронное облучение и последующий отжиг при высоких температурах ($T > 250$ °C), содержащих атомы цинка и теллура кристаллов p -GaAs, приводят также к появлению (помимо указанных выше полос излучения) полос люминесценции с энергией максимума $h\nu_m$ вблизи 1.18 эВ (ее интенсивность $I_{1.18}$, а полуширина $W=0.16$ эВ, максимальное значение $I_{1.18}$ достигается при $T \approx 500$ °C).

г) Отжиг облученных нейтронами кристаллов p -GaAs при повышенных температурах $T > 125, 250, 375$ °C приводит (помимо тривиального увеличения практически до исходного значения интенсивности краевого излучения²⁾ к исчезновению стимулированных радиационным и радиационно-термическим воздействиями полос излучения с энергиями максимумов $h\nu_m$ вблизи 1.26, 1.38 и 1.30 эВ соответственно.

3. Обсуждение

Последующая интерпретация полученных результатов основывается на хорошо известной природе центров, обусловливающих появление полос излучения с энергиями максимумов $h\nu_m$ (77 K)=1.26, 1.38, 1.25, 1.30 и 1.18 эВ в GaAs и надежно установленных данных о типе и подвижности дефектов, созданных нейтронным облучением в GaAs.

а) Примесные полосы люминесценции с энергиями максимумов $h\nu_m$ (77 K) вблизи 1.26, 1.38, 1.25, 1.30 и 1.18 эВ обусловлены излучательными переходами электронов в созданных ближайшими соседями [собственными дефектами решетки D (в частности, межузельными атомами мышьяка As₁, вакансиями мышьяка V_{As}, галлия V_{Ga}), атомами кремния Si_{As} и теллура Te_{As} в мышьяковой подрешетке GaAs и атомами цинка Zn_{Ga} в галлиевой подрешетке GaAs] парах As₁Zn_{Ga}, V_{As}Zn_{Ga}, Si_{As}(V_{Ga}V_{As}), Si_{As}D и V_{Ga}Te_{As} соответственно [^{6, 7, 11-13}].

б) Нейтронное облучение GaAs создает в нем точечные радиационные дефекты — изолированные (межузельные атомы мышьяка As₁ и галлия Ga₁, они подвижны при $T \geq 20$ °C, вакансии мышьяка V_{As} и галлия V_{Ga}, они становятся подвижными при $T \geq 100$ и 240 °C соответственно) и в кластерах (областях скоплений дефектов) двух типов — R и Q (R-кластеры содержат V_{As}, As₁, V_{Ga}, Ga₁, они устойчивы при $T < 240-260$ °C, при $T \geq 240-260$ °C происходит эмиссия V_{As} из них и они преобразуются в Q-кластеры, которые содер-

²⁾ На кривой 7 (рис. 2) стадия отжига вблизи 240—260 °C соответствует аннигиляции изолированных радиационных дефектов и сосредоточенных в R-кластерах, а вблизи 450 °C — сосредоточенных в Q-кластерах (см. далее) [¹⁻¹²].

жат As_i , V_{Ga} , Ga_i , они устойчивы при $T < 450^\circ C$, при $T \geq 450^\circ C$ происходит эмиссия As_i , V_{Ga} , V_{As} из них и они распадаются) [2-7, 10-12, 16, 17].

Приведенные выше данные о нетривиальных изменениях при радиационном и радиационно-термическом воздействиях интенсивностей излучения $I_{1.26}$, $I_{1.38}$, $I_{1.30}$, $I_{1.25}$ и $I_{1.18}$ могут быть объяснены следующим образом.

а) Появление в спектрах люминесценции облученных нейтронами содержащих атомы цинка кристаллов $p\text{-GaAs}$ примесной полосы излучения с энергией максимума $\hbar\nu_m = 1.26$ эВ обусловлено захватом атомами Zn_{Ga} созданных радиацией (подвижных при $T \geq 20^\circ C$) межузельных атомов мышьяка As_i , т. е. образованием пар As_iZn_{Ga} (их концентрация $N_{1.26}$); последующий низкотемпературный ($T \leq 125^\circ C$) отжиг мало изменяет $N_{1.26}$ (максимальное значение $N_{1.26}$ достигается в облученных неотожженных кристаллах).

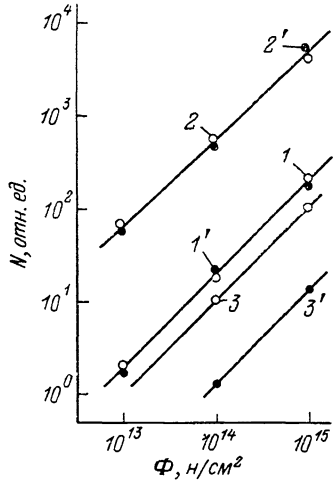


Рис. 3. Зависимость максимальных концентраций излучающих центров $N_{1.26}$ (1, 1'), $N_{1.38}$ (2, 2') и $N_{1.30}$ (3, 3') от потока быстрых нейтронов Φ в кристаллах $p\text{-GaAs}\langle Zn \rangle$.

1—3 — без предварительного прогрева; 1'—3' — с предварительным (до облучения нейтронами) прогревом при $600^\circ C$.

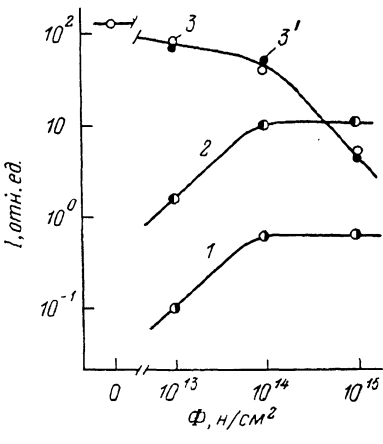


Рис. 4. Зависимость интенсивностей излучения $I_{1.26}$ (1), $I_{1.38}$ (2) и $I_{1.30}$ (3, 3') от потока быстрых нейтронов Φ в кристаллах $p\text{-GaAs}\langle Zn \rangle$ при радиационном (1, 3) и радиационно-термическом (2, 3') воздействиях.

2, 3' — после отжига облученных кристаллов при $200^\circ C$, 30 мин.

б) Появление в спектрах люминесценции облученных нейтронами, а затем отожженных содержащих атомы цинка кристаллов $p\text{-GaAs}$ примесной полосы излучения с энергией максимума $\hbar\nu_m = 1.38$ эВ обусловлено захватом атомами Zn_{Ga} созданных радиацией вакансий мышьяка V_{As} , т. е. образованием пар $V_{As}Zn_{Ga}$ (их концентрация $N_{1.38}$, максимальное значение $N_{1.38}$ достигается при $T \approx 200^\circ C$). При этом первая область образования пар $V_{As}Zn_{Ga}$ (рис. 2, кривая 2) соответствует захвату атомами цинка изолированных вакансий мышьяка (они становятся подвижными при $T \geq 100^\circ C$ [2, 4, 12, 18]), а вторая (рис. 2, кривая 3) — захвату атомами цинка вакансий мышьяка из R -областей скоплений радиационных дефектов (при $T \geq 240-260^\circ C$ происходит преобразование R -кластеров в Q -кластеры, сопровождающееся эмиссией из них изолированных вакансий мышьяка [10]).

в) Появление в спектрах люминесценции облученных нейтронами, а затем отожженных содержащих атомы цинка кристаллов $p\text{-GaAs}$ примесных полос излучения с энергиями максимумов $\hbar\nu_m$ вблизи 1.30 и 1.25 эВ обусловлено захватом атомами кремния Si_{As} созданных радиацией (в R - и Q -областях скоплений дефектов, об этом свидетельствует совпадение температурных интервалов отжига дефектов, в которых наблюдается появление указанных полос излучения и происходит разрушение R - и Q -областей скоплений дефектов [10]) дивакансий $V_{Ga}V_{As}$ и собственных дефектов решетки D , т. е. образованием пар $Si_{As}(V_{Ga}V_{As})$ и $Si_{As}D$ (их концентрации $N_{1.30}$ и $N_{1.25}$, максимальные значения $N_{1.30}$ и $N_{1.25}$ достигаются при $T = 375$ и $550^\circ C$ соответственно).

г) Появление в спектрах люминесценции облученных нейтронами, а затем отожженных содержащих атомы цинка и теллура кристаллов p -GaAs, помимо указанных выше полос люминесценции, примесной полосы излучения с энергией максимума $\hbar\nu_m=1.18$ эВ обусловлено захватом атомами теллура Te_{As} созданных радиацией изолированных и в Q -областиах скоплений дефектов (подвижных при $T \geq 240$ и 450 °C соответственно [10]) вакансий галлия V_{Ga} (очевидно, распад Q -областей скоплений дефектов приводит к появлению потока изолированных вакансий галлия [10]), т. е. образованием пар $V_{\text{Ga}}\text{Te}_{\text{As}}$ (их концентрация $N_{1.18}$, максимальное значение $N_{1.18}$ достигается при $T \approx 500$ °C).

д) Исчезновение при повышенных температурах отжига индуцированных нейтронным облучением полос излучения с энергиями максимума $\hbar\nu_m=1.26$, 1.38 и 1.30 эВ обусловлено аннигиляцией (разрушением) созданных радиацией и радиационно-термическим воздействием пар $\text{As}_x\text{Zn}_{1-x}$, $V_{\text{As}}\text{Zn}_{1-x}$ и $\text{Si}_{\text{As}}D$ ввиду относительно слабой связи входящих в их состав компонентов, т. е. низкой термической стабильностью радиационно-стимулированных пар $\text{As}_x\text{Zn}_{1-x}$, $V_{\text{As}}\text{Zn}_{1-x}$ и $\text{Si}_{\text{As}}D$ (тривиальное восстановление при указанном термическом воздействии исходной интенсивности краевой полосы излучения обусловлено аннигиляцией созданных нейтронным облучением центров безызлучательной рекомбинации электронов, дырок) [16, 17].

Несомненно, центры люминесценции, ответственные за радиационно-стимулированные полосы излучения с энергиями максимума $\hbar\nu_m=1.26$, 1.38, 1.30, 1.25 и 1.18 эВ, включают в свой состав созданные радиацией дефекты структуры, так как указанные полосы излучения наблюдаются лишь в облученных кристаллах (рис. 1 и 2), а концентрации обсуждаемых излучающих центров линейно возрастают с дозой облучения (рис. 3).³ Так же несомненно отличие природы радиационно-стимулированных центров, ответственных за близкие ($\text{c } \hbar\nu_m=1.25$ и 1.26 эВ) индуцированные нейтронным облучением полосы излучения, так как концентрация 1.25 эВ излучающих центров $N_{1.25}$ существенно зависела [в отличие от концентрации 1.26 эВ излучающих центров $N_{1.26}$ (а также иных излучающих центров)] от предварительного прогрева кристаллов p -GaAs (рис. 3).

В заключение отметим, что приведенные данные о влиянии облучения быстрыми нейтронами на люминесценцию GaAs важны для понимания широко изучаемых в настоящее время в полупроводниках процессов генерации, миграции и аннигиляции радиационных дефектов, а также их взаимодействия с примесями (см., например, [1-12]).

Список литературы

- [1] Coates R., Mitchell E. W. // Adv. Phys. 1975. V. 24. N 5. P. 593—644.
- [2] Ланг Д. // Точечные дефекты в твердых телах / Под ред. Б. И. Болтакса, Т. В. Машовец, Л. Н. Орлова. М., 1979. С. 187—220.
- [3] Коршунов Ф. П., Гатальский Г. В., Иванов Г. М. Радиационные эффекты в полупроводниковых приборах. Минск, 1978. 229 с.
- [4] Смирнов Л. С. Вопросы радиационной технологии полупроводников. Новосибирск, 1980. 292 с.
- [5] Goltzene A., Schwab C., David J. P., Raizes A. // Appl. Phys. Lett. 1986. V. 49. N 14. P. 862—864.
- [6] Dlubek G., Krause R. // Phys. St. Sol.(a). 1987. V. 102. N 2. P. 433—479.
- [7] Dlubek G., Dlubek A., Krause R., Brummer O. // Phys. St. Sol.(a). 1988. V. 107. N 1. P. 111—121.
- [8] Goltzene A., Meyer B., Schwab C. // Appl. Phys. Lett. 1989. V. 54. N 10. P. 907—909.
- [9] Ломако В. М., Новоселов А. М. // ФТП. 1976. Т. 10. В. 5. С. 900—905.
- [10] Kolchenko T. I., Lomako V. M. // Rad. Eff. 1980. V. 46. N 1-2. P. 97—103.
- [11] Глынчук К. Д., Лукат К., Прохорович А. В. // Оптоэлектроника и полупроводниковая техника. Киев, 1982. В. 1. С. 39—54.
- [12] Емцев В. В., Машовец Т. В. Примеси и точечные дефекты в полупроводниках. М., 1981. 246 с.

³ Концентрации излучающих центров N [$N=N_{1.26}$, $N_{1.38}$, $N_{1.25}$ (рис. 3)] определялись из очевидных соотношений для интенсивностей обусловленного ими излучения I ($I=I_{1.26}$, $I_{1.38}$, $I_{1.25}$)— $I=c_n NL\tau_n \sim c_n N_{1.50}$ (для примера на рис. 4 приведены типичные дозовые зависимости интенсивностей излучения $I_{1.26}$, $I_{1.38}$, $I_{1.25}$). При нахождении соотношений между концентрациями различных излучающих центров предполагалось, что коэффициенты захвата ими электронов c_n ($c_n=c_{1.26}$, $c_{1.38}$, $c_{1.25}$) мало различаются ($c_{1.26} \approx c_{1.38} \approx c_{1.25}$).

- [13] Nishizawa J. // Japan. J. Appl. Phys. 1974. V. 13. N 1. P. 46–56.
- [14] Камалов М. Н., Колесник Й. И. // ФТП. 1980. Т. 14. В. 1. С. 159–163.
- [15] Manasreh M. O. // Semicond. Sci. Techn. 1989. V. 4. N 6. P. 435–438.
- [16] Collins G. D. // Phys. St. Sol.(b). 1989. V. 151. N 2. P. 469–477.
- [17] Винник Е. В., Глинчук К. Д., Гурошев В. И., Прохорович А. В. // ФТП. 1990. Т. 24. В. 8. С. 1363–1366.

Институт полупроводников
АН УССР
Киев

Получена 10.01.1990
Принята к печати 10.09.1990
